

UNIVERZA V LJUBLJANI
FAKULTETA ZA MATEMATIKO IN FIZIKO

Matematika – 2. stopnja

Miha Avsec

KUBIČNE KRIVULJE V KRIPTOGRAFIJI

Magistrsko delo

Mentor: doc. dr. Anita Buckley

Somentor: pred. mag. Matjaž Praprotnik

Ljubljana, 2019

Zahvala

Neobvezno. Zahvaljujem se . . .

Kazalo

Program dela	vii
1 Uvod	1
2 Kubične krivulje	1
2.1 Točke na krivulji	1
2.2 Struktura grupe na kubičnih krivuljah	4
3 Diffie-Hellmanova izmenjava ključev nad gladkimi kubičnimi krivuljami	6
3.1 Index Calculus	7
4 Parjenja	9
5 Integrali po ω-kompleksih	10
5.1 Definicija	10
6 Tehnični napotki za pisanje	10
6.1 Sklicevanje in citiranje	10
6.2 Okrajšave	11
6.3 Vstavljanje slik	11
6.4 Kako narediti stvarno kazalo	12
6.5 Navajanje literature	12
Literatura	13
Stvarno kazalo	15

Program dela

Mentor naj napiše program dela skupaj z osnovno literaturo. Na literaturo se lahko sklicuje kot [7], [4], [?], [2].

Osnovna literatura

Literatura mora biti tukaj posebej samostojno navedena (po pomembnosti) in ne le citirana. V tem razdelku literature ne oštevilčimo po svoje, ampak uporabljamo okolje itemize in ukaz plancite, saj je celotna literatura oštevilčena na koncu.

- [7] L. P. Lebedev in M. J. Cloud, *Introduction to Mathematical Elasticity*, World Scientific, Singapur, 2009
- [4] M. E. Gurtin, *An Introduction to Continuum Mechanics*, Mathematics in Science and Engineering **158**, Academic Press, New York, 1982
- [?]
- [2] *DRAFT 2016 EU-wide ST templates*, [ogled 3. 8. 2016], dostopno na <http://www.eba.europa.eu/documents/10180/1259315/DRAFT+2016+EU-wide+ST+templates.xlsx>

Podpis mentorja:

Kubične krivulje v kriptografiji

POVZETEK

Tukaj napišemo povzetek vsebine. Sem sodi razlaga vsebine in ne opis tega, kako je delo organizirano.

English translation of the title

ABSTRACT

An abstract of the work is written here. This includes a short description of the content and not the structure of your work.

Math. Subj. Class. (2010): oznake kot 74B05, 65N99, na voljo so na naslovu <http://www.ams.org/msc/msc2010.html?t=65Mxx>

Ključne besede: kubična krivulja , kriptografija , ...

Keywords: cubic curve , cryptography

1 Uvod

Kubične krivulje se v kriptografiji uporabljajo, ker zagotavljajo isto varnost, kot drugi klasični kriptosistemi, pri tem pa potrebujejo manjšo velikost ključa. Ocenjuje se, da je 2048 bitni ključ v RSA algoritmu enako varen kot 224 bitni ključ nad kubičnimi krivuljami. Krajši ključ predstavlja veliko prednost v okoljih s slabšo procesorsko močjo in/ali omejenim pomnilnikom. Primer take uporabe predstavlja pametne kartice. Uporaba kubičnih krivulj v namene kriptografije je prvi predlagal Victor S. Miller leta 1985, a so le te v širšo rabo vstopile še le okoli leta 2004.

2 Kubične krivulje

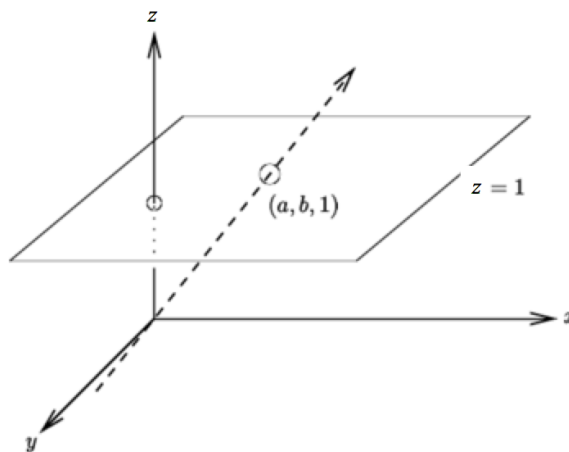
KOPIRANO IZ DIPLOME ALI JE OK????

2.1 Točke na krivulji

Definicija 2.1.

Projektivna ravnina \mathbb{P}^2 nad poljem \mathbb{F} je kvocientni prostor $\mathbb{F}^3 - \{0\}/\sim$, kjer je ekvivalenčna relacija podana z $(a, b, c) \sim (\alpha a, \alpha b, \alpha c)$ za vsak $\alpha \in \mathbb{F} \setminus \{0\}$. Točke v \mathbb{P}^2 so torej podane s homogenimi koordinatami $[a, b, c] = [\alpha a, \alpha b, \alpha c]$ za vse $\alpha \neq 0$.

Točko projektivne ravnine si lahko predstavljamo kot premico skozi izhodišče, kot prikazuje slika 1.



Slika 1: Točka $[a, b, 1]$ v projektivni ravnini.

Definicija 2.2.

Polinom P je *homogen* stopnje d , če velja $P(\lambda x, \lambda y, \lambda z) = \lambda^d P(x, y, z)$ za vse $\lambda \in \mathbb{F}$.

Definicija 2.3.

Algebraična krivulja, podana s homogenim polinomom P , je množica točk

$$\mathcal{C}_P = \{A \in \mathbb{P}^2, P(A) = 0\}.$$

Kubična krivulja je algebraična krivulja, podana s homogenim polinomom stopnje 3. V splošnem je torej oblike

$$a_{300}x^3 + a_{210}x^2y + a_{201}x^2z + a_{120}xy^2 + a_{102}xz^2 + a_{012}yz^2 + a_{030}y^3 + a_{003}z^3 + a_{111}xyz + a_{021}y^2z = 0,$$

kjer so $a_{ijk} \in \mathbb{F}$. Ta zapis vsebuje 10 koeficientov, vendar se v gladkih primerih lahko polinom poenostavi.

Definicija 2.4.

Algebraična krivulja je *gladka*, če nima nobenih samopresečišč ali singularnosti.

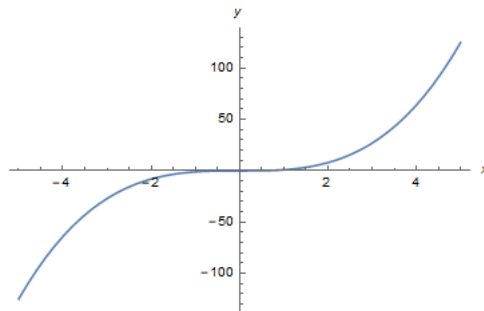
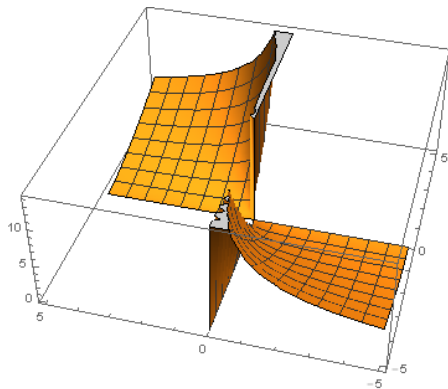
Izrek 2.5 ([?], Izrek 15.2).

Gladko kubično krivuljo nad algebraično zaprtim poljem lahko zapišemo v Weierstrassovi obliki

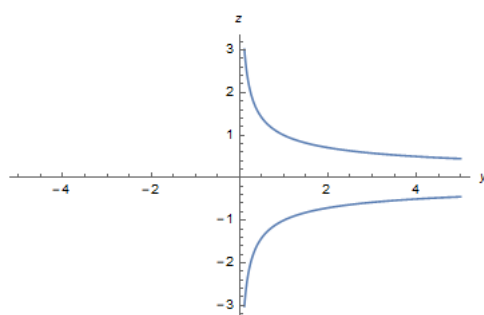
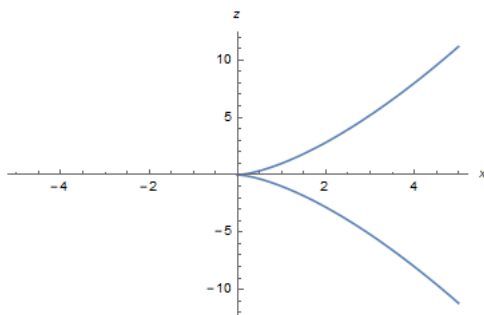
$$y^2z = x^3 + axz^2 + bz^3.$$

Primer 2.6.

Polinom $P(x, y, z) = z^2y - x^3$ je homogen polinom stopnje 3. Rešitve enačbe $z^2y - x^3 = 0$ pa podajajo točke na kubični krivulji.



Slika 2: Algebraična krivulja, podana s polinomom $z^2y - x^3$. Slika 3: Presek algebraične krivulje z ravnino $z = 1$.



Slika 4: Presek algebraične krivulje z ravnino $y = 1$. Slika 5: Presek algebraične krivulje z ravnino $x = 1$.

Na zgornjih slikah lahko vidimo, kako krivuljo predstavimo v projektivni ravnini, ter njene preseke z različnimi afinimi ravninami.

V nadaljevanju nas bodo zanimale predvsem gladke kubične krivulje v polju $\mathbb{Z}/n\mathbb{Z}$.

Definicija 2.7. Za dani števili $a, b \in \mathbb{Z}/n\mathbb{Z}$ je *kubična krivulja* nad poljem $\mathbb{Z}/n\mathbb{Z}$ množica točk

$$E_{(a,b)}(\mathbb{Z}/n\mathbb{Z}) = \{[x, y, z] \in \mathbb{P}^2(\mathbb{Z}/n\mathbb{Z}) : y^2z = x^3 + axz^2 + bz^3\}.$$

Drugače povedano, afina kubična krivulja je množica rešitev enačbe

$$y^2 = x^3 + ax + b.$$

Pri čemer upoštevamo zvezo med afinimi in projektivnimi koordinatami točk:

$$(x, y) \in (\mathbb{Z}/n\mathbb{Z})^2 \Leftrightarrow [x, y, 1] \in \mathbb{P}^2(\mathbb{Z}/n\mathbb{Z}).$$

2.2 Struktura grupe na kubičnih krivuljah

Za definicijo grupe na kubičnih krivuljah uvedimo najprej pomožno operacijo

$$* : \mathcal{C}_P \times \mathcal{C}_P \rightarrow \mathcal{C}_P,$$

tako da za poljubni točki A, B na krivulji velja:

$$A * B = \begin{cases} A & \text{če je } A = B \text{ prevoj,} \\ C & \text{če je } \overline{AB} \cap \mathcal{C}_P = \{A, B, C\}, \\ A & \text{če je } \overline{AB} \text{ tangenta v } A, \text{ ter } A \neq B, \\ B & \text{če je } \overline{AB} \text{ tangenta v } B, \text{ ter } A \neq B, \\ C & \text{če je } A = B \text{ \{in tangenta v } A\} \cap \mathcal{C}_P = \{A, C\}. \end{cases}$$

Intuitivno operacija $*$ vrne tretjo točko v preseku premice skozi A in B in \mathcal{C}_P . Poglejmo si še nekaj lastnosti operacije $*$. Dokaze sledečih trditev najdemo v [?, Poglavje 17.3].

Trditev 2.8.

Operacija $$ ima naslednje lastnosti:*

- *komutativnost:* $A * B = B * A$,
- *absorpcija:* $(A * B) * A = B$,
- $((A * B) * C) * D = A * ((B * D) * C)$.

Izrek 2.9.

Kubična krivulja $(\mathcal{C}_P, +)$ je Abelova grupa za operacijo

$$\begin{aligned} + : \quad \mathcal{C}_P \times \mathcal{C}_P &\rightarrow \mathcal{C}_P \\ (A, B) &\rightarrow (A * B) * O, \end{aligned}$$

kjer je O poljubna izbrana točka na krivulji \mathcal{C}_P .

Dokaz.

S pomočjo trditve 2.8 dokažimo, da je $(\mathcal{C}_P, +)$ res Abelova grupa.

- Operacija $+$ je komutativna:

$$A + B = (A * B) * O = (B * A) * O = B + A.$$

- Točka O je nevtralni element:

$$A + O = (A * O) * O = A.$$

- Nasprotni element A definiramo kot $-A = A * (O * O)$ in preverimo:

$$\begin{aligned} A + (-A) &= (A * (A * (O * O))) * O \\ &= (O * O) * O \\ &= O, \end{aligned}$$

kjer smo uporabili absorbcijo.

- Asociativnost $(A + B) + C = A + (B + C)$ dokažemo z računom:

$$\begin{aligned}
(A + B) + C &= ((A + B) * C) * O \\
&= (((A * B) * O) * C) * O \\
&= (A * ((B * C) * O)) * O \\
&= (A * (B + C)) * O = A + (B + C). \quad \square
\end{aligned}$$

Ta definicija operacije nudi eleganten opis strukture grupe, za numerično računanje pa ni primerna. Možno pa je izpeljati formule, s katerimi lahko eksplicitno izračunamo vsoto dveh točk, v kolikor imamo kubično krivuljo v Weierstrassovi obliki.

Lema 2.10 (Seštevanje točk na Weierstrassovi kubični krivulji).

Naj bo \mathcal{C}_P afina krivulja v Weierstrassovi obliki $y^2 = x^3 + \alpha x^2 + \beta x + \gamma$, ter O prevoj v neskončnosti. Če sta $A_1 = (a_1, b_1)$ in $A_2 = (a_2, b_2)$ točki na afinem delu \mathcal{C}_P , potem za $A_3 = A_1 + A_2 = (a_3, b_3)$ velja

$$\begin{aligned}
a_3 &= \lambda^2 - \alpha - a_1 - a_2 \\
b_3 &= -\lambda a_3 - \mu,
\end{aligned}$$

kjer sta

$$\lambda = \begin{cases} \frac{b_1 - b_2}{a_1 - a_2} & \text{če } a_1 \neq a_2, \\ \frac{3a_1^2 + 2\alpha a_1 + \beta}{2b_1} & \text{sicer,} \end{cases}$$

ter $\mu = b_1 - \lambda a_1$.

Opomba 2.11. Če krivuljo \mathcal{C}_P predstavimo v projektivni ravnini, torej s homogenim polinomom $yz^2 = x^3 + \alpha x^2z + \beta xz^2 + \gamma z^3$ je prevoj $O = [0, 1, 0]$.

Primer 2.12.

Na spodnji sliki je v afini ravnini $y = 1$ prikazano kako grafično seštevamo točke na Weierstrassovi kubiki $yz^2 - x(x - y)(x + y) = 0$. Sešteti želimo točki $A = (-1, 0)$ in $B = (2, \sqrt{6})$.

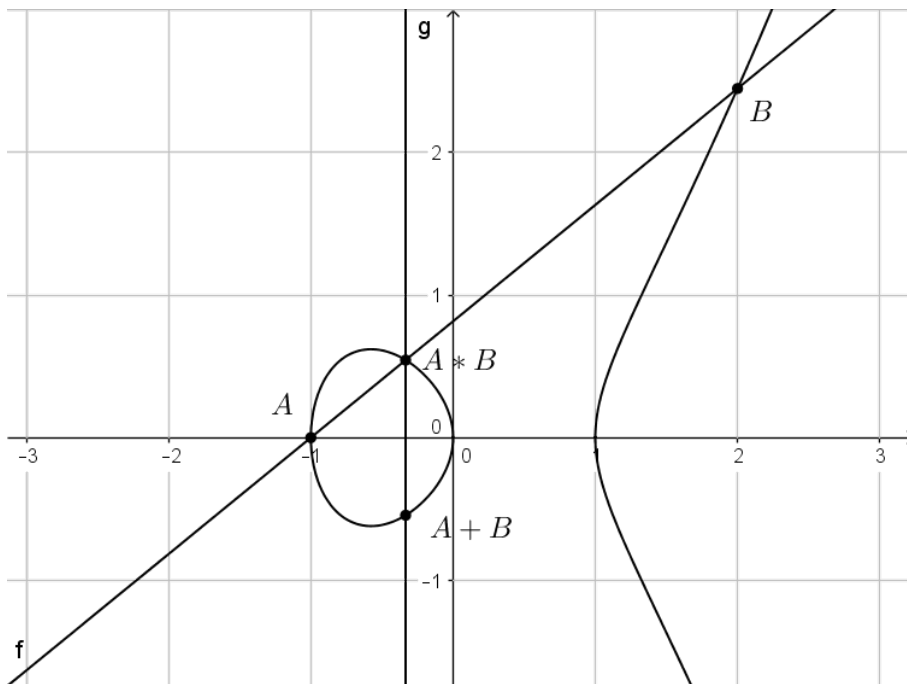
Primer 2.13.

Seštejmo točki $A = (-1, 0)$, $B = (2, \sqrt{6})$ na Weierstrassovi kubični krivulji $yz^2 - x(x - y)(x + y) = 0$ v preseku s projektivno ravnino $y = 1$ še računsko z uporabo zgornje leme 2.10. Prepišimo našo krivuljo najprej v afino obliko iz leme 2.10. Ker smo v ravnini $y = 1$, najprej zamenjajmo vlogi y in z .

$$z^2 - x(x - 1)(x + 1) = 0$$

Dobimo $z^2 = x^3 - x$, torej je $\alpha = 0$, $\beta = -1$ in $\gamma = 0$. Izračunajmo sedaj λ in μ , pri čemer upoštevamo prvi predpis, saj sta x-koordinati točk različni:

$$\lambda = \frac{-\sqrt{6}}{-1 - 2} = \frac{\sqrt{6}}{3},$$



Slika 6: Grafično seštevanje točk na kubični krivulji.

$$\mu = 0 - \frac{\sqrt{6}}{3}(-1) = \frac{\sqrt{6}}{3}.$$

Koordinati vsote $A + B = (x, y)$ sta torej enaki

$$x = \frac{6}{9} - 0 + 1 - 2 = -\frac{1}{3}$$

in

$$z = -\frac{\sqrt{6}}{3}\left(-\frac{1}{3}\right) - \frac{\sqrt{6}}{3} = -\frac{2\sqrt{6}}{9} \doteq -0.5443.$$

Iskana točka $A + B \in \mathbb{P}^2$ je torej enaka $[-\frac{1}{3}, 1, -\frac{2\sqrt{6}}{9}]$. Dobljeni rezultat se ujema s točko, ki smo jo dobili z grafičnim seštevanjem.

3 Diffie-Hellmanova izmenjava ključev nad gladkimi kubičnimi krivuljami

Diffie-Hellmanova izmenjava ključev je postopek, pri katerem se dve osebi npr. Alenka in Boris dogovorita za skrivni ključ na takšen način, da tudi v primeru ko njun pogovor posluša tretji nepovabljeni gost npr. Ciril le ta iz pogovora ne more rekonstruirati ključa za katerega sta se tekom pogovora dogovorila Alenka in Boris.

Algoritem 1 Diffie-Hellmanova izmenjava ključev.

1. Alenka in Boris se dogovorita za eliptično krivuljo E nad končnim obsegom \mathbb{F}_q , ter za točko $P \in E(\mathbb{F}_q)$.
 2. Alenka se odloči za skrivno število $a \in \mathbb{N}$, in izračuna $P_a = aP$, ter to pošlje Borisu.
 3. Boris se odloči za skrivno število $b \in \mathbb{N}$, in izračuna $P_b = bP$, ter to pošlje Alenki.
 4. Alenka izračuna $aP_b = abP$.
 5. Boris izračuna $bP_a = baP$.
-

Kot sam ključ bi lahko na koncu Alenka in Boris uporabila npr. zadnjih 256 bitov x-koordinate točke abP . Tu se zanašamo na to, da je iz $E, \mathbb{F}_q, P, P_a, P_b$ težko izračunati baP . Zelo veliko pa je tu odvisno od same izbire krivulje E .

To nas privede do t. i. problema diskretnega logaritma.

Definicija 3.1. Naj bosta $a, b \in \mathbb{N}$, ter naj bo p praštevilo. Iščemo število k tako, da bo

$$a^k \equiv b \pmod{p}.$$

Trditev 3.2. Če lahko rešimo problem diskretnega logaritma, potem smo rešili tudi problem Diffie-Hellmanove izmenjave ključev. Povedano drugače velja

$$DL \Rightarrow DH.$$

Dokaz. Problem Diffie-Hellmanove izmenjave ključev lahko enostavno prevedemo na problem diskretnega logaritma na sledeč način:

- Vzemi aP in izračunaj a tako, da rešiš problem diskretnega logaritma.
- Izračunaj $a(bP)$.

□

3.1 Index Calculus

Naj bo p praštevilo in naj bo g generator ciklične grupe \mathbb{F}_p^\times . Naj $L(h)$ označuje vrednost, za katero velja

$$g^{L(h)} \equiv h \pmod{p}.$$

Iz definicije $L(h)$ sledi, da velja

$$L(h_1 h_2) = L(h_1) + L(h_2) \pmod{p}.$$

Idejo napada na problem diskretnega logaritma v taki grupi najlažje vidimo na primeru.

Primer 3.3. Naj bo $p = 1217$ in $g = 3$. Rešiti hočemo $3^k \equiv 37 \pmod{1217}$. Izberimo si bazo praštevil $\{2, 3, 5, 7, 11, 13\}$. Pri tem upoštevamo, da bo večja baza pomenila več računanja a hkrati lažjo pot do odgovora. Išemo x -e tako, da bo

$$3^x \equiv \pm \text{produktu praštevil iz baze} \pmod{1217}.$$

Ob iskanju takih x najdemo naslednje enakosti:

$$\begin{aligned} 3^1 &\equiv 3 \pmod{1217} \\ 3^{24} &\equiv -2^2 \cdot 7 \cdot 13 \pmod{1217} \\ 3^{25} &\equiv 5^3 \pmod{1217} \\ 3^{30} &\equiv -2 \cdot 5^2 \pmod{1217} \\ 3^{54} &\equiv -5 \cdot 11 \pmod{1217} \\ 3^{87} &\equiv 13 \pmod{1217} \end{aligned}$$

Z večjo bazo bi v tem primeru lažje našli take enačbe, a bi jih hkrati potrebovali več. Z uporabo malega Fermatovega izreka, velja

$$3^{1216} \equiv 1 \equiv (-1)^2 \pmod{1217},$$

od koder sledi $L(-1) \equiv 608 \pmod{1216}$. Če enačbe sedaj zapišemo z uporabo $L(h)$, dobimo

$$\begin{aligned} 1 &\equiv L(3) \pmod{1216} \\ 24 &\equiv 608 + 2L(2) + L(7) + L(13) \pmod{1216} \\ 25 &\equiv 3L(5) \pmod{1216} \\ 30 &\equiv 608 + L(2) + 2L(5) \pmod{1216} \\ 54 &\equiv 608 + L(5) + L(11) \pmod{1216} \\ 87 &\equiv L(13) \pmod{1216} \end{aligned}$$

Od tod bobimo $L(2) = 216, L(11) = 1059, L(7) = 113, L(5) = 819, L(13) = 87, L(3) = 1$. Sedaj poračunamo za različne j vrednost $3^j * 37$, dokler ne dobimo $3^j * 37 \equiv \text{produktu elementov iz baze}$. Pri vrednosti $j = 16$ dobimo

$$3^{16} \cdot 37 \equiv 2^3 \cdot 7 \cdot 11 \pmod{1217}.$$

Iščemo $L(37)$, iz definicije L pa velja

$$3^{L(37)} \equiv 37 \pmod{1217} \equiv 2^3 \cdot 7 \cdot 11 \cdot 3^{-16} \pmod{1217}.$$

Če sedaj namesto baze vstavimo primerne L dobimo

$$3^{L(37)} \equiv 3^{3L(2)} \cdot 3^{L(7)} \cdot 3^{L(11)} \cdot 3^{-16L(3)} \pmod{1217}.$$

$L(37)$ lahko sedaj zapišemo kot

$$L(37) \equiv 3L(2) + L(7) + L(11) - 16L(3) \pmod{1216} \equiv 588 \pmod{1216}.$$

Torej je naš iskani $k = 588$.

4 Parjenja

Parjenja imajo pomembno vlogo pri napadih na problem diskretnega logaritma nad gladkimi kubičnimi krivuljami.

Definicija 4.1. *Eliptična krivulja je gladka kubična krivulja.*

Definicija 4.2. Naj bo E eliptična krivulja nad poljem K , ter naj bo $n \in \mathbb{N}$. *Torizjske točke* so množica

$$E[n] = \{P \in E(\overline{K}) \mid nP = \infty\}.$$

Izrek 4.3. *Naj bo E eliptična krivulja nad poljem K in naj bo $n \in \mathbb{N}$. Če karakteristika polja K ne deli n , ali je enaka 0 potem*

$$E[n] \cong \mathbb{Z}_n \oplus \mathbb{Z}_n$$

Dokaz. Se ne vem kako bo napisan □

Definicija 4.4. Definirajmo *deliteljski polinom* $\gamma_m \in \mathbb{Z}[x, y, A, B]$ kot,

$$\begin{aligned} \gamma_0 &= 0 \\ \gamma_1 &= 1 \\ \gamma_2 &= 2y \\ \gamma_3 &= 3x^4 + 6Ax^2 + 12Bx - A^2 \\ \gamma_4 &= 4y(x^6 + 5Ax^4 + 20Bx^3 - 5A^2x^2 - 4ABx - 8B^2 - A^3) \\ \gamma_{2m+1} &= \gamma_{m+2}\gamma_m^3 - \gamma_{m-1}\gamma_{m+1}^3 \text{ za } m \geq 2 \\ \gamma_{2m} &= (2y)^{-1}\gamma_m(\gamma_{m+2}\gamma_{m-1}^2 - \gamma_{m-2}\gamma_{m+1}^2) \text{ za } m \geq 3 \end{aligned}$$

Lema 4.5. γ_n je element $\mathbb{Z}[x, y^2, A, B]$, za vse lihe n . Za sode n pa je γ_n element $2y\mathbb{Z}[x, y^2, A, B]$.

Dokaz. Dokažimo to s pomočjo indukcije. Za $n \leq 4$ lema očitno velja. Obravnavajmo primera, ko je $n = 2m$ in $n = 2m + 1$ za nek $m \in \mathbb{N}$.

- $n=2m$ Indukcijska predpostavka je v tem primeru, da lema velja za vse $n < 2m$. Predpostavimo lahko, da je $2m > 4$, saj vemo da lema velja za $n \leq 4$, torej velja $m > 2$. Potem velja $2m > m + 2$, kar pomeni, da vsi polinomi v definiciji γ_{2m} zadoščajo indukcijski predpostavki. Če je m sodo število, potem se $\gamma_m, \gamma_{m+2}, \gamma_{m-2}$ nahajajo v $2y\mathbb{Z}[x, y^2, A, B]$. Od tod pa sledi, da je tudi $\gamma_{2m} \in 2y\mathbb{Z}[x, y^2, A, B]$. Če je m lih, potem sta $\gamma_{m-1}, \gamma_{m+1} \in 2y\mathbb{Z}[x, y^2, A, B]$. To pa pomeni, da je tudi $\gamma_{2m} \in 2y\mathbb{Z}[x, y^2, A, B]$.
- $n=2m+1$ Primer obravnavamo podobno kot $n = 2m$.

□

Definicija 4.6. Naj bo K polje in naj bo $n \in \mathbb{N}$ tak, da karakteristika K ne deli n .

$$\mu_n = \{x \in \overline{K} \mid x^n = 1\}$$

je grupa n -tih korenov enote grupe \overline{K} .

Trditev 4.7. Naj bo E eliptična krivulja definirana nad poljem K , in naj bo $n \in \mathbb{N}$. Predpostavimo, da karakteristika polja K ne deli n . Potem obstaja Weilovo parjenje

$$e_n : E[n] \times E[n] \rightarrow \mu_n,$$

za katerega velja:

- e_n je bilinearna v obeh spremenljivkah

$$e_n(S_1 + S_2, T) = e_n(S_1, T)e_n(S_2, T)$$

in

$$e_n(S, T_1 + T_2) = e_n(S, T_1)e_n(S, T_2)$$

za vse $S, S_1, S_2, T, T_1, T_2 \in E[n]$.

5 Integrali po ω -kompleksih

5.1 Definicija

Definicija 5.1. Neskončno zaporedje kompleksnih števil, označeno z $\omega = (\omega_1, \omega_2, \dots)$, se imenuje ω -kompleks.¹

Črni blok zgoraj je tam namenoma. Označuje, da L^AT_EX ni znal vrstice prelomiti pravilno in vas na to opozarja. Preoblikujte stavek ali mu pomagajte deliti problematično besedo z ukazom `\hyphenation{an-ti-ko-mu-ta-ti-ven}` v preambuli.

Trditev 5.2 (Znano ime ali avtor). *Obstaja vsaj en ω -kompleks.*

Dokaz. Naštejmo nekaj primerov:

$$\omega = (0, 0, 0, \dots), \tag{5.1}$$

$$\omega = (1, i, -1, -i, 1, \dots),$$

$$\omega = (0, 1, 2, 3, \dots). \quad \square$$

6 Tehnični napotki za pisanje

6.1 Sklicevanje in citiranje

Za sklice uporabljamo `\ref`, za sklice na enačbe `\eqref`, za citate `\cite`. Pri sklicevanju in citiranju sklicano številko povežemo s prejšnjo besedo z nedeljivim presledkom `~`, kot npr. iz `trditve~\ref{trd:obstoj-omega}` vidimo.

Primer 6.1. Zaporedje (5.1) iz dokaza trditve 5.2 na strani 10 lahko najdemo tudi v Spletni enciklopediji zaporedij [13]. Citiramo lahko tudi bolj natančno [7, trditev 2.1, str. 23].

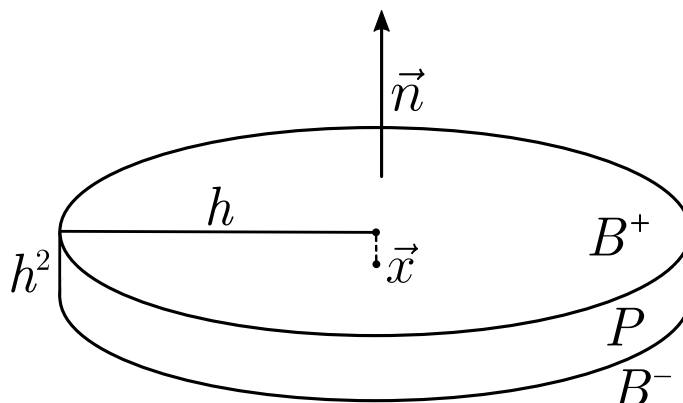
¹To ime je izmišljeno.

6.2 Okrajšave

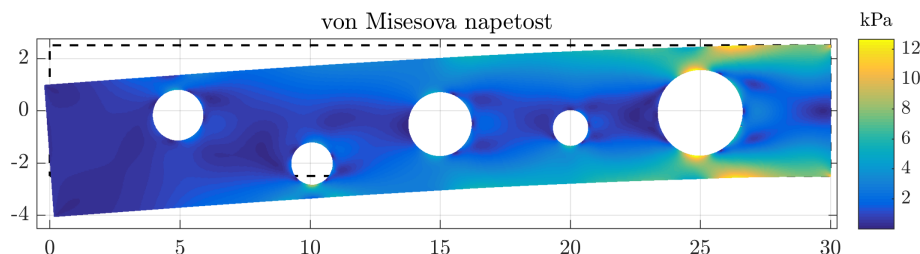
Pri uporabi okrajšav \LaTeX za piko vstavi predolg presledek, kot npr. tukaj. Zato se za vsako piko, ki ni konec stavka doda presledek običajne širine z ukazom $\backslash_,$ kot npr. tukaj. Primerjaj z okrajšavo zgoraj za razliko.

6.3 Vstavljanje slik

Sliko vstavimo v plavajočem okolju `figure`. Plavajoča okolja *plavajo* po tekstu, in jih lahko postavimo na vrh strani z opsijskim parametrom ‘`t`’, na lokacijo, kjer je v kodi s ‘`h`’, in če to ne deluje, potem pa lahko rečete \LaTeX u, da ga *res* želite tukaj, kjer ste napisali, s ‘`h!`’. Lepo je da so vstavljene slike vektorske (recimo `.pdf` ali `.eps` ali `.svg`) ali pa `.png` visoke resolucije (več kot 300 dpi). Pod vsako sliko je napis in na vsako sliko se skličemo v besedilu. Primer vektorske slike je na sliki 7. Vektorsko sliko prepoznate tako, da močno zoomate v sliko, in še vedno ostane gladka. Več informacij je na voljo na https://en.wikibooks.org/wiki/LaTeX/Floats,_Figures_and_Captions. Če so slike bitne, kot na primer slika 8, poskrbite, da so v dovolj visoki resoluciji.



Slika 7: Primer vektorske slike z oznakami v enaki pisavi, kot jo uporablja \LaTeX . Narejena je s programom Inkscape, \LaTeX oznake so importane v Inkscape iz pomožnega PDF.



Slika 8: Primer bitne slike, izvožene iz Matlaba. Poskrbite, da so slike v dovolj visoki resoluciji in da ne vsebujejo prosojnih elementov (to zahteva PDF/A-1b format).

6.4 Kako narediti stvarno kazalo

Dodate ukaze `\index{polje}` na besede, kjer je pojavijo, kot tukaj. Več o stvarnih kazalih je na voljo na <https://en.wikibooks.org/wiki/LaTeX/Indexing>.

6.5 Navajanje literature

Članke citiramo z uporabo `\cite{label}`, `\cite[text]{label}` ali pa več naenkrat s `\cite\{label1, label2}`. Tudi tukaj predhodno besedo in citat povežemo z nedeljivim presledkom `~`. Na primer `[1, 8]`, ali pa `[6]`, ali pa `[14, str. 12]`, `[11, enačba (2.3)]`. Vnosi iz `.bib` datoteke, ki niso citirani, se ne prikažejo v seznamu literature, zato jih tukaj citiram. `[15]`, `[3]`, `[12]`, `[9]`, `[5]`, `[2]`, `[10]`.

Literatura

- [1] Y. Chen, J. Lee in A. Eskandarian, *Meshless Methods in Solid Mechanics*, Springer, New York, 2006.
- [2] *DRAFT 2016 EU-wide ST templates*, [ogled 3. 8. 2016], dostopno na <http://www.eba.europa.eu/documents/10180/1259315/DRAFT+2016+EU-wide+ST+templates.xlsx>.
- [3] R. Gregorič, *Stopničeni $E-\infty$ kolobarji in Proj v algebraični spektralni geometriji*, magistrsko delo, Fakulteta za matematiko in fiziko, Univerza v Ljubljani, 2017.
- [4] M. E. Gurtin, *An Introduction to Continuum Mechanics*, Mathematics in Science and Engineering **158**, Academic Press, New York, 1982.
- [5] E. A. Kearsley in J. Fong, *Linearly independent sets of isotropic Cartesian tensors of ranks up to eight*, J. Res. Natl Bureau of Standards Part B: Math. Sci. B **79** (1975) 49–58, doi: 10.6028/jres.079b.005.
- [6] A. M. Kibriya in E. Frank, *An Empirical Comparison of Exact Nearest Neighbour Algorithms*, v: Knowledge Discovery in Databases: PKDD 2007: 11th European Conference on Principles and Practice of Knowledge Discovery in Databases, Warsaw, Poland, September 17-21, 2007. Proceedings (ur. J. N. Kok in dr.), Springer, Berlin, Heidelberg, str. 140–151, doi: 10.1007/978-3-540-74976-9_16.
- [7] L. P. Lebedev in M. J. Cloud, *Introduction to Mathematical Elasticity*, World Scientific, Singapur, 2009.
- [8] G.-R. Liu in Y. Gu, *A point interpolation method for two-dimensional solids*, Int. J. Numer. Methods Eng. **50**(4) (2001) 937–951.
- [9] *n-sphere*, [ogled 21. 8. 2017], dostopno na <https://en.wikipedia.org/wiki/N-sphere>.
- [10] *Nürnberg Tand*, [ogled 23. 1. 2018], dostopno na https://www.nuernbergwiki.de/index.php/N%C3%BCrnberger_Tand#Geschichte.
- [11] K. Pereira in dr., *On the convergence of stresses in fretting fatigue*, Materials **9**(8) (2016), doi: 10.3390/ma9080639.
- [12] J. Slak, *Induktivni in koinduktivni tipi*, diplomsko delo, Fakulteta za matematiko in fiziko, Univerza v Ljubljani, 2015.
- [13] N. J. A. Sloane, *The On-Line Encyclopedia of Integer Sequences*, Sequence A005043, [ogled 9. 7. 2016], dostopno na <http://oeis.org/A005043>.
- [14] R. Trobec in G. Kosec, *Parallel scientific computing: theory, algorithms, and applications of mesh based and meshless methods*, SpringerBriefs in Computer Science, Springer, New York, 2015.

- [15] V. Vene, *Categorical programming with inductive and coinductive types*, doktorska disertacija, Univerza v Tartuju, 2000.

Stvarno kazalo

tukaj, 12